4.3 地形変化量図作成

豪雨前のレーザ計測データと本業務で得られたレーザ計測データを用いて差分計算により地 形変化量図を作成し、地形変化箇所を抽出した。地形変化量は以下に示す範囲で作成した。該当 する市町村は津奈木町、芦北町、球磨村である。



図 4.3.1 地形変化量図の作成範囲

4.3.1 使用したデータ

地形変化量図の作成にあたり使用したデータを以下に示す。

◆災害前

- ・球磨川上流域航空レーザ計測業務(平成21年度)管理者: 国土交通省川辺川ダム砂防事務所
- ・肥薩山地航空レーザ計測業務(平成24年度) 管理者: 国土交通省川辺川ダム砂防事務所
- ・熊本県南部航空レーザ計測業務(平成25年度) 管理者: 国土交通省川辺川ダム砂防事務所

◆災害後

- ・熊本県南部航空レーザ計測業務(令和2年度) 管理者:国土交通省川辺川ダム砂防事務所
- ・令和2年度森林域における航空レーザ計測業務(その1) (本業務)

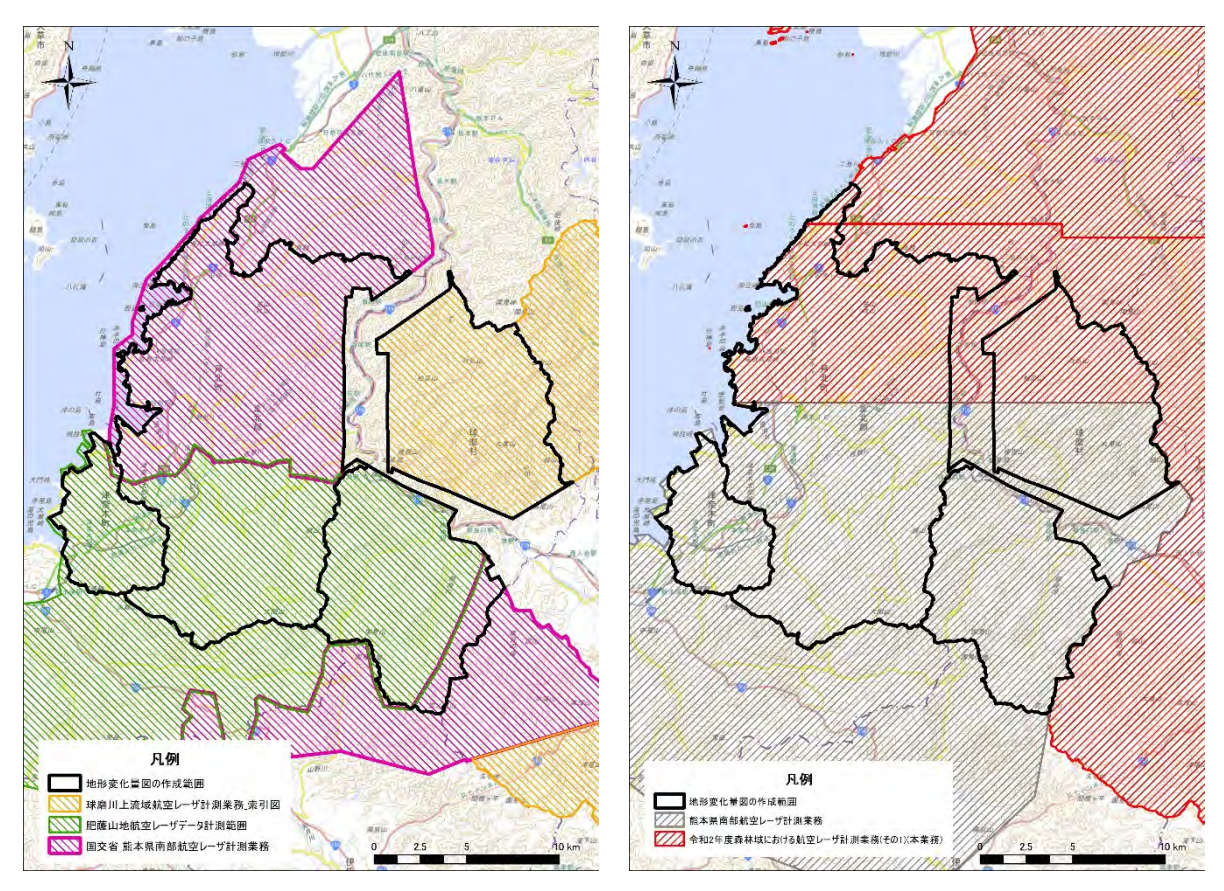


図 4.3.2 地形変化量図作成に使用したデータの範囲 (左図:災害前、右図:災害後)

4.3.2 差分計算の結果

差分計算した結果を以下に示す。

- ・ここで表現される地形の変化は、平成 21(2009)年度~平成 25(2013)年度と令和 2(2020)年度の間 (7~11年間) の地形の変化量である。
- ・計測誤差を考慮して凡例は±1mは非表示とした。
- ・地形変化は、新規崩壊地、石切場、ソーラーパネル発電所、河川内、新設された道路等で確認された。



図 4.3.3 差分の原因(災害後の推移状況:新規崩壊地) (左図:差分図、中央:災害後、右図:災害前) <図郭番号:MD5844>

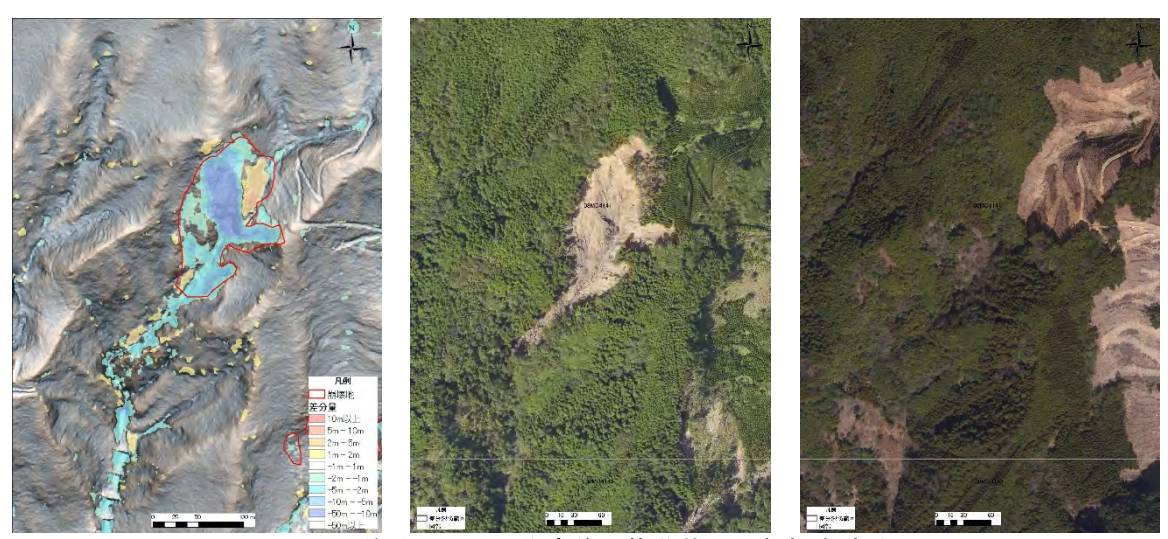


図 4.3.4 差分の原因(災害後の推移状況:新規崩壊地) (左図:差分図、中央:災害後、右図:災害前) <図郭番号:MD4141>



図 4.3.5 差分の原因(災害後の推移状況:石切場と新規崩壊地) (左図:差分図、中央:災害後、右図:災害前) <図郭番号:MD5824>



図 4.3.6 差分の原因 (災害後の推移状況:新設されたソーラーパネル) (左図:差分図、中央:災害後、右図:災害前) <図郭番号:MC8841>



図 4.3.7 差分の原因(災害後の推移状況:新設された道路) (左図:差分図、中央:災害後、右図:災害前) <図郭番号:MD7734>



図 4.3.8 差分の原因(災害後の推移状況:河道内の水位変化の事例) (左図:差分図、中央:災害後、右図:災害前) <図郭番号:MD6813>

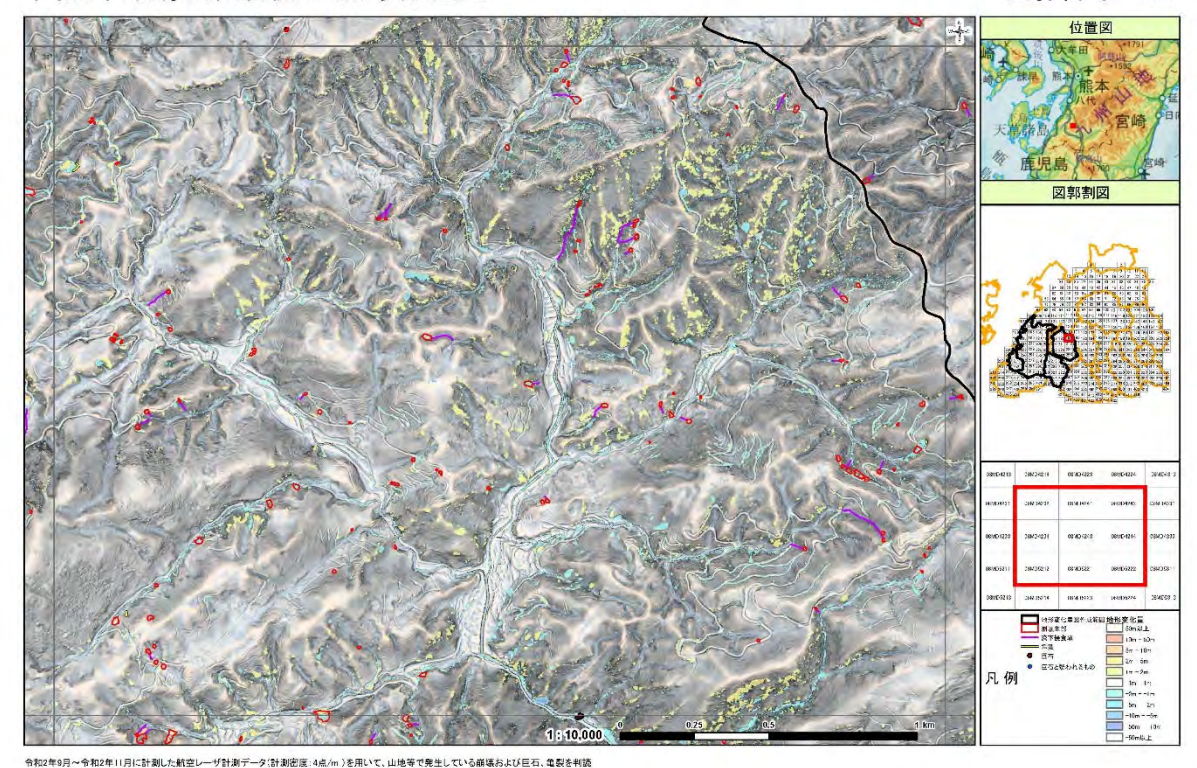


図 4.3.9 作成した地形変化量図の例

4.4 森林 GIS データベースの作成

崩壊箇所等の分布状況等を shape 形式データに格納したデータベースを作成した。

判読項目保存ファイル名崩壊地01_崩壊地流送区間02_流下侵食域亀裂03_巨石巨石04_亀裂

表 4.4.1 判読項目と保存ファイル名